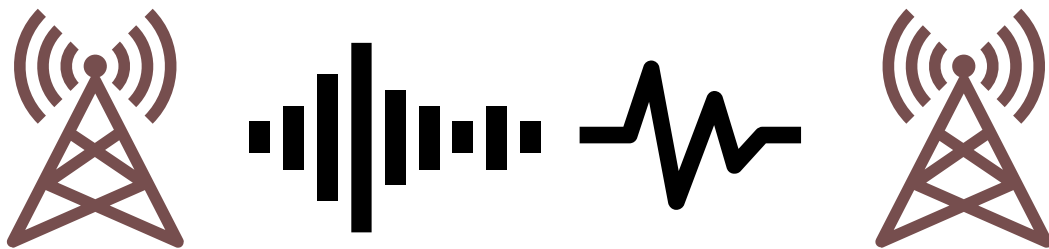


# ΤΗΛΕΠΙΚΟΙΝΩΝΙΑΚΑ ΣΥΣΤΗΜΑΤΑ 1


---

**Αναφορά 2<sup>ης</sup> Εργαστηριακής Άσκησης**  
«ΦΑΣΜΑΤΙΚΟ ΠΕΡΙΕΧΟΜΕΝΟ ΡΑΜ ΚΥΜΑΤΟΜΟΡΦΩΝ»
































 **ΟΜΑΔΑ ΕΡΓΑΣΙΑΣ**

---

 Μιχάλης Γαλάνης 2016030036

# ΠΕΡΙΕΧΟΜΕΝΑ

	ΕΙΣΑΓΩΓΗ .....	1
	Τμήμα Κώδικα .....	1
	(Α.1) ΦΑΣΜΑΤΙΚΗ ΠΥΚΝΩΤΗΤΑ SRRC ΠΑΛΜΩΝ .....	1
	Τμήμα Κώδικα .....	2
	Ανάλυση Κώδικα .....	2
	Διαγράμματα .....	3
	(Α.2) ΦΑΣΜΑΤΙΚΗ ΠΥΚΝΟΤΗΤΑ 2-PAM ΣΥΜΒΟΛΩΝ .....	3
	Τμήμα Κώδικα .....	3
	Ανάλυση Κώδικα .....	4
	Διαγράμματα .....	5
	(Α.3) ΣΥΓΚΡΙΣΗ ΦΑΣΜΑΤΙΚΗΣ ΠΥΚΝΟΤΗΤΑΣ ΙΣΧΥΟΣ .....	5
	Τμήμα Κώδικα .....	5
	Ανάλυση Κώδικα .....	7
	Διαγράμματα .....	8
	Επεξήγηση Διαγραμμάτων .....	9
	(Α.4) ΦΑΣΜΑΤΙΚΗ ΠΥΚΝΟΤΗΤΑ 4-PAM ΣΥΜΒΟΛΩΝ .....	9
	Τμήμα Κυρίου Κώδικα .....	10

	Ανάλυση Κυρίου Κώδικα .....	11
	Τμήμα Κώδικα Συνάρτησης .....	11
	Ανάλυση Κώδικα Συνάρτησης .....	11
	Διαγράμματα .....	12
	Επεξήγηση Διαγραμμάτων .....	12
	(Α.5) ΦΑΣΜ. ΠΥΚΝΟΤΗΤΑ 2-PAM ( $T'=2T$ ) .....	12
	Τμήμα Κώδικα .....	13
	Ανάλυση Κώδικα .....	14
	Διαγράμματα .....	14
	Επεξήγηση Διαγραμμάτων .....	15
	(Α.6) ΘΕΩΡΗΤΙΚΕΣ ΕΡΩΤΗΣΕΙΣ .....	16
	(Β.1) ΘΕΩΡΗΤΙΚΗ ΑΝΑΛΥΣΗ .....	16

## ΕΙΣΑΓΩΓΗ

Στα πλαίσια της 2<sup>ης</sup> εργαστηριακής άσκησης θα ασχοληθούμε με το φασματικό περιεχόμενο PAM κυματομορφών βασικής ζώνης χρησιμοποιώντας αποκομμένους παλμούς SRRC αλλά και θα μελετήσουμε περαιτέρω τις διαμορφώσεις 2-PAM & 4-PAM.

Για την άσκηση αυτή έχουμε και πάλι διαθέσιμη την εξωτερική συνάρτηση **srcc\_pulse** καθώς και 2 επιπλέον (**bits\_to\_2PAM**, **bits\_to\_4PAM**) που θα αναλυθούν στη συνέχεια της άσκησης.

Έχουν κατασκευαστεί κάποιες ανώνυμες συναρτήσεις που καθιστούν τον κώδικα πιο ευανάγνωστο και προσφέρουν επαναχρησιμοποίηση τμημάτων του. Οι πρώτες δύο είναι υπεύθυνες για την προετοιμασία της εμφάνισης της πλοκής των κυματομορφών, ενώ οι επόμενες τρεις τις σχεδιάζουν. Τέλος υπάρχουν και κάποιες συναρτήσεις που αφορούν το περιεχόμενο της άσκησης και χρησιμοποιούνται επανηλειμμένα όπως η εύρεση του χρόνου μιας συνέλιξης, η παραγωγή N bits καθώς και ο υπολογισμός M.F και περιοδογραμμάτων διαφόρων συναρτήσεων.

### Τμήμα Κώδικα

```

13  %%%%%%%%%%%%%%%%%%%%%%%%%%%%%%%%%%%%%%%%%%%%%%%%%%%%%%%%%%%%%%%%%%%%%%%%%
14  % Useful Functions %
15  %%%%%%%%%%%%%%%%%%%%%%%%%%%%%%%%%%%%%%%%%%%%%%%%%%%%%%%%%%%%%%%%%%%%%%%%%
16  %Plotting Preperation Functions
17 - set_diag_labels = @(tit, xlab, ylab){title(tit); xlabel(xlab); ylabel(ylab)};
18 - set_diag_layout = @(fig, rows, cols, selected){figure(fig); subplot(rows,cols,selected)};
19  %Some Useful Plotting Functions (continuous & discrete)
20 - c_plot = @(t, f){ plot(t,f)};
21 - c_semilogy = @(t, f){ semilogy(t,f)};
22 - d_plot = @(t, f){ stem(t,f)};
23  %Some Useful Signal Processing Functions
24 - t_conv = @(t1, t2, dt) (t1(1) + t2(1)):dt:(t1(end) + t2(end)); %Convolution time
25 - gen_N_bits = @(N) ((sign(randn(N,1)) + 1)/2); %Generates N Random Bits
26 - F_T = @(X,Nf,Ts) (abs(fftshift(fft(X,Nf)*Ts))); %Fourier Transform of X
27 - P_X = @(t_X, X,Nf,Ts) ((F_T(X,Nf,Ts).^2)/(length(t_X)*Ts)); %Periodogram of X

```

## (Α.1) ΦΑΣΜΑΤΙΚΗ ΠΥΚΝΩΤΗΤΑ SRRC ΠΑΛΜΩΝ

Ζητήθηκε να κατασκευάσουμε έναν παλμό SRRC  $\varphi(t)$  με ενδεικτικές τιμές όπως φαίνεται στο τμήμα κώδικα παρακάτω, να βρεθεί ο μετασχηματισμός Fourier του και να σχεδιαστεί η φασματική πυκνότητα ενέργειας σε λογαριθμική κλίμακα.

## Τμήμα Κώδικα

```

30  %%%%%%%%%%%%%%%%%%%%%%%%%%%%%%%%%%%%%%%%%%%%%%%%%%%%%%%%%%%%%%%%%%%%%%%%%
31  % A.1 - Creating SRRP Pulses and Displaying Energy Spectrum%
32  %%%%%%%%%%%%%%%%%%%%%%%%%%%%%%%%%%%%%%%%%%%%%%%%%%%%%%%%%%%%%%%%%%%%%%%%%
33  %Settings for plotting the diagrams
34  r = 6; c = 2; fig = 1; sub_fig = 1;
35
36  %Building up parameters for srrp_pulse function
37  T = 0.01;      %Nyquist parameter (>0)
38  over = 10;     %Oversampling factor (>0)
39  Ts = T/over;   %Sampling period (>0)
40  Fs = 1/Ts;     %Sampling frequency (>0)
41  A = 4;         %Half duration of the pulse (>0)
42  a = 0.5;       %Roll-off factor(0<a<1)
43
44  %Calling srrp_pulse function to store phi and t variables
45  [phi, t] = srrp_pulse(T, Ts, A, a);
46
47  %Calculating Fourier Transformation (fft & fftshift)
48  Nf = 2^11;     %Number of Samples
49  X_ES = (F_T(phi,Nf,Ts)).^2; %Energy Spectrum
50  F_ES = (-Fs/2) : (Fs/Nf) : (Fs/2 - Fs/Nf); %Frequency Vector
51
52  %Customizing & Plotting Energy spectrum Logarithmically
53  set_diag_layout(fig, r, c, sub_fig);
54  c_semilogy(F_ES,X_ES);
55  set_diag_labels("A.1 - Energy Spectrum of SRRP pulse (Logarithmic)","F [Hz]","log|X(F)|^2");
56  grid on;

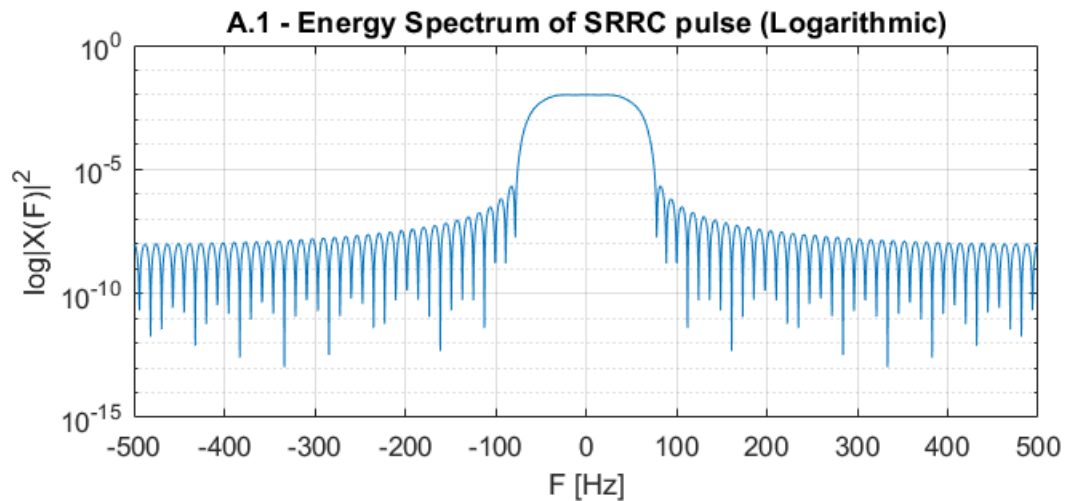
```

## Ανάλυση Κώδικα

Αρχικά δημιουργούμε και αρχικοποιούμε τις απαραίτητες μεταβλητές για να μπορούμε να καλέσουμε την **srrp\_pulse** έτσι ώστε να κατασκευαστεί ο παλμός phi. Ύστερα σε 2048 ισαπέχοντα σημεία κατασκευάστηκε ο μετασχηματισμός Fourier και η φασματική πυκνότητα ενέργειας χρησιμοποιώντας τη συνάρτηση **F\_T** που δηλώθηκε παραπάνω, η οποία στη σειρά της περιλαμβάνει χρήση συναρτήσεων matlab **fft** και **fftshift**. Ο λόγος που χρειαζόμαστε 2048 σημεία είναι ότι μικρότερο αριθμό δειγμάτων από αυτόν ίσως προκαλέσει παραμόρφωση αργότερα στη φασματική πυκνότητα ενέργειας και επειδή είναι δύναμη του 2 οπότε καθιστά πιο γρήγορη τη συνάρτηση **fft**.

Τέλος, η αναπαράσταση επιτεύχθηκε στο διάστημα  $\left[-\frac{F_s}{2}, \frac{F_s}{2}\right)$  με λογαριθμική αναπαράσταση για να μη χαθεί η λεπτομέρεια στις πολύ χαμηλές τιμές του φάσματος ( $10^{-8}$  με  $10^{-12}$ ).

## Διαγράμματα



## (Α.2) ΦΑΣΜΑΤΙΚΗ ΠΥΚΝΟΤΗΤΑ 2-PAM ΣΥΜΒΟΛΩΝ

Στο ερώτημα ζητήθηκε αρχικά να δημιουργηθεί ακολουθία  $X_n$  με  $N$  ισοπίθανα bit χρησιμοποιώντας διαμόρφωση 2-PAM και να κατασκευαστεί η κυματομορφή:

$$X(t) = \sum_{n=0}^{N-1} X_n \varphi(t - nT)$$

Υπενθυμίζεται ότι η μετατροπή διαδυκών bit σε σύμβολα 2-PAM αποτελείται από τα παρακάτω βήματα:

- $0 \rightarrow +1$
- $1 \rightarrow -1$

## Τμήμα Κώδικα

```

59 %%%%%%%%%%%%%%%%%%%%%%%%%%%%%%%%%%%%%%%%%%%%%%%%%%%%%%%%%%%%%%%%%%%%%%%%%
60 % A.2 - Energy Spectrum of 2-PAM Sequence Symbols %
61 %%%%%%%%%%%%%%%%%%%%%%%%%%%%%%%%%%%%%%%%%%%%%%%%%%%%%%%%%%%%%%%%%%%%%%%%%
62 N = 50; %Number of bits
63
64 %Generating 2PAM Sequence
65 b = gen_N_bits(N); %Creating N bits
66 X_seq = bits_to_2PAM(b); %Using bits_to_2PAM to generate 2-PAM symbols
67
  
```

```

68 - t_Delta = 0 : Ts : ((N + N*(over - 1)) - 1)*Ts; %Defining time for X_Delta
69 - X_delta = Fs * upsample(X_seq,over); %Inserts zeros in between bits
70
71 %Convoluting X(t) = X_delta with phi
72 - X_conv_time = t_conv(t_Delta,t,Ts); %Setting up convolution length
73 - X = conv(X_delta,phi)*Ts; %Calculating actual convolution
74
75 %Customizing & Plotting X(t)
76 - sub_fig = sub_fig + 1;
77 - set_diag_layout(fig, r, c, sub_fig);
78 - c_plot(X_conv_time, X);
79 - set_diag_labels('A.2 - X(t): Convolution of X-delta & SRRC Pulse','t (s)', 'Conv');
80 - grid on;

```



## Ανάλυση Κώδικα

Αρχικά δηλώνεται ο αριθμός των bits που θέλουμε να κατασκευάσουμε. Με την ανώνυμη συνάρτηση **gen\_N\_bits(N)** δημιουργείται ένα vector από N τυχαία και ισοπίθανα bits και περνάει ως παράμετρος στη συνάρτηση **bits\_to\_2PAM(b)** η οποία εξηγήθηκε στη προηγούμενη άσκηση και τελικά μας παρέχει μια ακολουθία  $X_{seq}$  από 2-PAM σύμβολα.

Γνωρίζουμε από θεωρία την παρακάτω ιδιότητα της συνέλιξης:

$$\{\chi(t)\} * \{\delta(t - t_0)\} = \{\chi(t - t_0)\}$$

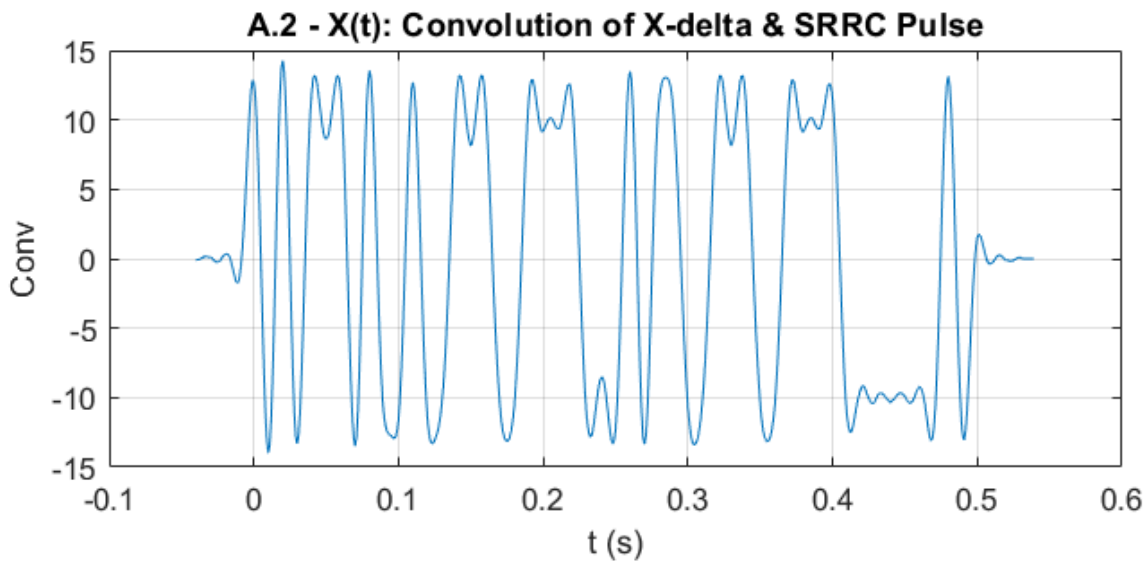
Οπότε η προηγούμενη σχέση γίνεται:

$$X(t) = \sum_{n=0}^{N-1} X_n \varphi(t - nT) = \sum_{n=0}^{N-1} X_n \{\varphi(t) * \delta(t - nT)\}$$

Άρα στη συνέχεια υπολογίζουμε ουσιαστικά τη παραπάνω συνέλιξη. Το κομμάτι του  $\delta(t - nT)$  υπολογίζεται εύκολα με τη συνάρτηση **upsample(X\_seq,over)** όπως είδαμε και στην προηγούμενη άσκηση.

Στη διαδικασία αυτή, γίνεται χρήση της ανώνυμης συνάρτησης **t\_conv(t1,t2,Ts)** που βρίσκει το χρόνο της συνέλιξης του σήματος  $X(t)$ . Τέλος παραστήνουμε γραφικά τη συνέλιξη των σημάτων  $\{\varphi(t) * \delta(t - nT)\}$ .

## Διαγράμματα



## (Α.3) ΣΥΓΚΡΙΣΗ ΦΑΣΜΑΤΙΚΗΣ ΠΥΚΝΟΤΗΤΑΣ ΙΣΧΥΟΣ

Σε αυτό το ερώτημα έρχεται η έννοια του περιοδογράμματος, που μια υλοποίηση της της  $X(t)$  ορίζεται ως:

$$P_x(F) = \frac{|F[X(t)]|^2}{T_{total}}$$

Καλούμαστε λοιπόν να υπολογίσουμε μια υλοποίηση και να την απεικονίσουμε παράλληλα γραμμικά (plot) και λογαριθμικά (semilogy). Ύστερα πρέπει να κάνουμε μια εκτίμηση της, υπολογίζοντας αριθμητικές μέσες τιμές πάνω σε  $K$  υλοποιήσεις περιοδογραμάτων. Μετά την αναπαράστασή της θεωρητικής – πειραματικής τιμής της φασματικής πυκνότητας καλούμαστε να συγκρίνουμε και να παρατηρήσουμε τα αποτελέσματα.

## Τμήμα Κώδικα

```

83 %%%%%%%%%%%%%%%%%%%%%%%%%%%%%%%%%%%%%%%%%%%%%%%%%%%%%%%%%%%%%%%%%%%%%%%%%
84 % A.3 - Comparing Theoretical & Estimated Energy Spectrums %
85 % of 2-PAM Symbols %
86 %%%%%%%%%%%%%%%%%%%%%%%%%%%%%%%%%%%%%%%%%%%%%%%%%%%%%%%%%%%%%%%%%%%%%%%%%
87
  
```



```

88 %Calculating Periodogram
89 - PX = P_X(X_conv_time, X,Nf,Ts);
90
91 %Customizing & Plotting X(t) Linearly
92 - sub_fig = sub_fig + 1;
93 - set_diag_layout(fig, r, c, sub_fig);
94 - c_plot(F_ES, PX);
95 - set_diag_labels('A.3 - 2-PAM Periodogram (Linear)', "F (Hz)", "Conv");
96 - grid on;
97
98 %Customizing & Plotting X(t) Logarithmically
99 - sub_fig = sub_fig + 1;
100 - set_diag_layout(fig, r, c, sub_fig);
101 - c_semilogy(F_ES, PX);
102 - set_diag_labels('A.3 - 2-PAM Periodogram (Logarithmic)', "F (Hz)", "Conv");
103 - grid on;
104
105 - K = [100,1000];
106 - %For every element of K (repeats)
107 - for i=1:length(K)
108 -     Sum_PX = 0;
109
110     %For every repeat
111 -     for j=1:K(i)
112 -         b = gen_N_bits(N); %Creating N bits
113 -         X_seq = bits_to_2PAM(b); %Using bits_to_2PAM to generate 2-PAM symbols
114
115         t_Delta = 0 : Ts : ((N + N*(over - 1)) - 1)*Ts; %Defining time for X_Delta
116         X_delta = Fs * upsample(X_seq,over); %Inserts zeros in between bits
117
118         %Convoluting X(t) = X_delta with phi
119         X_conv_time = t_conv(t_Delta,t,Ts); %Setting up convolution length
120         X = conv(X_delta,phi)*Ts; %Calculating actual convolution
121
122         %Summing up in every repeat to create average
123         Sum_PX = Sum_PX + P_X(X_conv_time, X,Nf,Ts);
124     end
125
126     Average_PX = Sum_PX./K(i); %Estimated Energy Spectrum
127     S_X = (var(X_seq)^2 / T) .* ((F_T(phi,Nf,Ts)).^2); %Theoretical Energy Spectrum
128
129     %Customizing & Plotting Theoretical & Estimated P_X Logarithmically
130 -     sub_fig = sub_fig + 1;
131 -     set_diag_layout(fig, r, c, sub_fig);
132 -     c_semilogy(F_ES, S_X); %Theoretical P_X
133 -     set_diag_labels(['A.3 - 2-PAM Periodogram (Logarithmic) with K = '
134         num2str(K(i))], "F (Hz)", "Conv");
135 -     hold on;
136 -     c_semilogy(F_ES, Average_PX); %Estimated P_X
137 -     hold off;
138 -     legend('Theoretical P_X','Estimated P_X')
139 -     grid on;
140 - end

```



## Ανάλυση Κώδικα

Η ανώνυμη συνάρτηση  $P_X(t_X, X, Nf, Ts)$  υπολογίζει το περιοδόγραμμα της  $X(t)$ :

```
27 - P_X = @(t_X, X, Nf, Ts) ((F_T(X, Nf, Ts).^2)/(length(t_X)*Ts)); %Periodogram of X
```

Η αναπαράσταση της σε γραμμική και λογαριθμική κλίμακα επιτυγχάνεται στις γραμμές 91-103 και δεν απαιτεί επεξήγηση.

Για να δοκιμάσουμε την ακρίβεια στην εύρεση της πειραματικής φασματικής πυκνότητας εκτελούμε το πείραμα για δύο τιμές του  $K$ . Όπως βλέπουμε έχει δημιουργηθεί ένας vector με αυτές τις τιμές έτσι ώστε να μπορούμε με for loop να τις προσπελάσουμε και να μην έχουμε αντίγραφα του ίδιου κώδικα. Ο εξωτερικός κόμβος επανάληψης αφορά τα στοιχεία του  $K$  ενώ ο εσωτερικός αναλαμβάνει τις επαναλήψεις αυτές καθεαυτές.

Για κάθε εσωτερική επανάληψη λοιπόν εκτελούμε βήματα παρόμοια με αυτά του προηγούμενου ερωτήματος έτσι ώστε να υπολογίζουμε για κάθε υπολοποίηση το αντίστοιχο περιοδόγραμμα και αποθηκεύουμε το αποτέλεσμα στο τελικό άθροισμα. Το άθροισμα αυτό διαιρείται με τον αριθμό των υλοποιήσεων για να παραχθεί η τελικά η προσέγγιση της φασματικής πυκνότητας ισχύος.

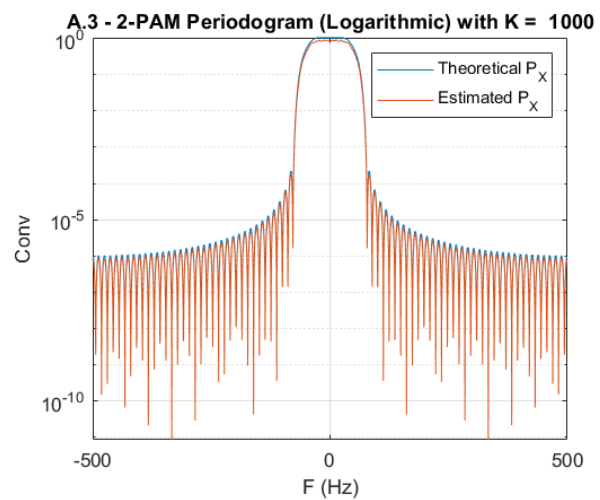
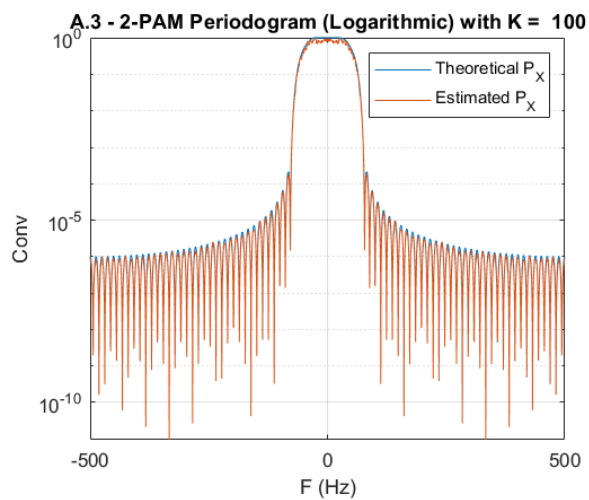
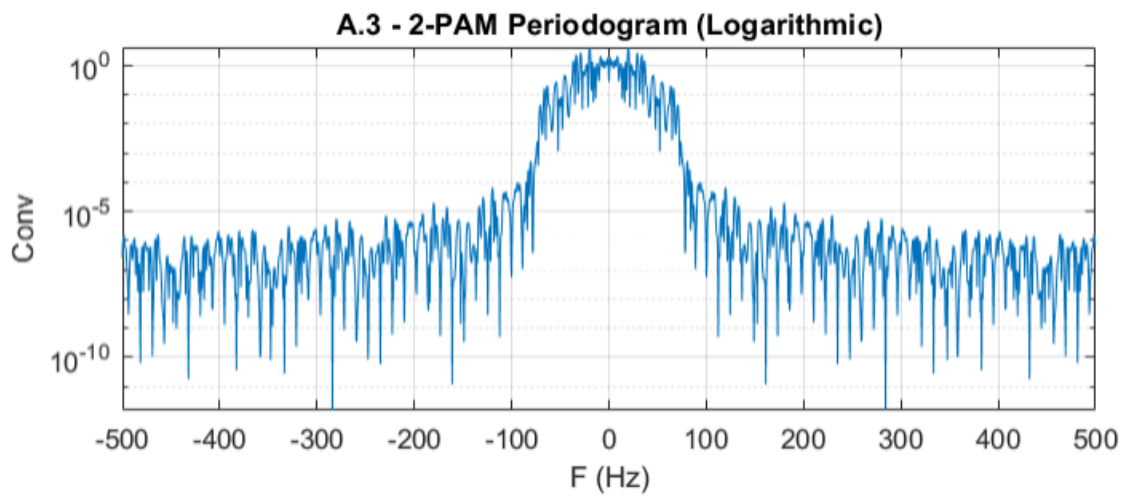
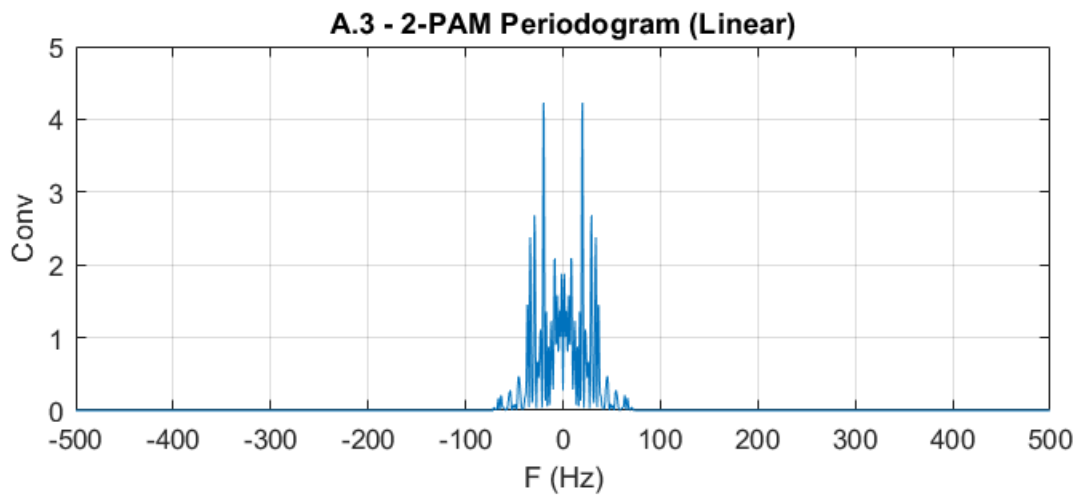
Απ'την άλλη, η θεωρητική φασματική πυκνότητα ισχύος υπολογίζεται με τον τύπο:

$$S_x(F) = \frac{\sigma_x^2}{T} |\Phi(F)|$$

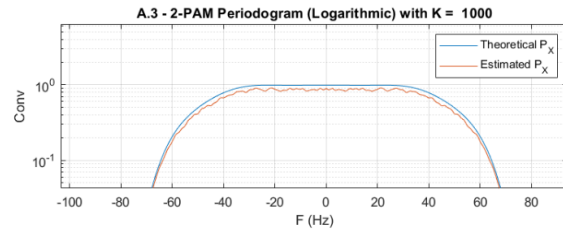
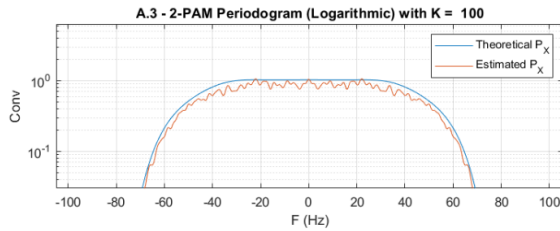
Όπου  $\sigma_x$  η διασπορά του σήματος  $X(t)$ . Στη matlab, αυτό υλοποιήθηκε στη γραμμή 127.

Τέλος, αναπαραστήθηκαν γραφικά οι κυματομορφές σε κοινή λογαριθμική κλίμακα με βοήθεια της εντολής **hold on/off**.

## Διαγράμματα



Και σε μεγέθυνση:



### Επεξήγηση Διαγραμμάτων

Τα πρώτα δυο διαγράμματα αναπαριστούν γραμμικά και λογαριθμικά αντίστοιχα το περιοδόγραμμα μιας υλοποίησης της  $\mathbf{X}(t)$ . Το μόνο που αξίζει να παρατηρήσουμε εδώ είναι ότι η κυματομορφή του δεύτερου διαγράμματος προσεγγίζει την φασματική πυκνότητα ισχύος του παλμού SRRC.

Το 3<sup>ο</sup> και 4<sup>ο</sup> διάγραμμα αναπαριστούν τη θεωρητική και πειραματική φασματική πυκνότητα ισχύος με 100 και 1000 υλοποιήσεις αντίστοιχα. Παρατηρούμε ότι όσο αυξάνουμε την τιμή των υλοποιήσεων τόσο βελτιώνεται η ακρίβεια της προσεγγιστικής μεθόδου και πλησιάζει την θεωρητική. Το φαινόμενο αυτό έγκειται στο γεγονός ότι όσες περισσότερες υλοποιήσεις υπάρχουν τόσο περιλαμβάνουν περισσότερα στοιχεία και μπορεί να υπολογιστεί η πυκνότητα ισχύος με πολύ ικανοποιητικά αποτελέσματα (μικρότερες διαστρευλώσεις στην κυματομορφή).



## (Α.4) ΦΑΣΜΑΤΙΚΗ ΠΥΚΝΟΤΗΤΑ 4-PAM ΣΥΜΒΟΛΩΝ

Προχωρώντας στο τέταρτο ερώτημα της πρώτης άσκησης, ήρθε η ώρα να μελετήσουμε τη φασματική πυκνότητα ισχύος με διαμόρφωση 4-PAM. Αυτή η διαμόρφωση χρησιμοποιεί την παρακάτω απεικόνιση:

- 00 → +3
- 01 → +1
- 10 → -1
- 11 → -3

Όπως και προηγουμένως, καλούμαστε να κατασκευάσουμε τη κυματομορφή:

$$X(t) = \sum_{n=0}^{N/2-1} X_n \varphi(t - nT)$$

και να εκτιμήσουμε τη φασματική πυκνότητα ισχύος μέσω αριθμητικών μέσων. Τέλος πρέπει να συγκρίνουμε ως προς το μέγιστο πλάτος τιμών σε σχέση με της  $X(t)$  του ερωτήματος Α.2

## Τμήμα Κυρίου Κώδικα

```

142 %%%%%%%%%%%%%%%%%%%%%%%%%%%%%%%%%%%%%%%%%%%%%%%%%%%%%%%%%%%%%%%%%%%%%%%%%%%%%%%
143 % A.4 - Energy Spectrum of 4-PAM Symbols %
144 %%%%%%%%%%%%%%%%%%%%%%%%%%%%%%%%%%%%%%%%%%%%%%%%%%%%%%%%%%%%%%%%%%%%%%%%%%%%%%%
145 %Generating 4PAM Sequence
146 N = 100;
147 b = gen_N_bits(N); %Generate bits
148 Xseq = bits_to_4PAM(b); %Using bits_to_4PAM to generate 4-PAM symbols
149
150 t_Delta = 0 : Ts : ((N + N*(over - 1)) - 1)*Ts; %Defining time for X_Delta
151 X_delta = Fs * upsample(X_seq,over); %Inserts zeros in between bits
152
153 t_x = t_conv(t,t_Delta,Ts); %Setting up convolution length
154 X = conv(X_delta,phi)*Ts; %Calculating actual convolution
155
156 %Constructing Periodogram
157 PX = P_X(t_x, X, Nf, Ts);
158
159 %Calculating Theoretical Energy Spectrum
160 S_X = (var(X_seq)^2 / T) .* ((F_T(phi,Nf,Ts)).^2); %Theoretical Energy Spectrum
161
162 %Calculating Estimation of Energy Spectrum
163 K = 1000;
164 Sum_PX = 0;
165 for i=1:K
166     b = gen_N_bits(N); %Generate bits (N remains the same)
167     Xseq = bits_to_4PAM(b); %Using bits_to_4PAM to generate 4-PAM symbols
168
169     t_Delta = 0 : Ts : ((N + N*(over - 1)) - 1)*Ts; %Defining time for X_Delta
170     X_delta = Fs * upsample(X_seq,over); %Inserts zeros in between bits
171
172     t_x = t_conv(t,t_Delta,Ts); %Setting up convolution length
173     X = conv(X_delta,phi)*Ts; %Calculating actual convolution
174
175     Sum_PX = Sum_PX + P_X(X_conv_time, X,Nf,Ts);
176 end
177
178 Average_PX = Sum_PX ./ K; %Estimated Energy Spectrum with K = 1000
179
180 %Customizing & Plotting Theoretical & Estimated P_X Logarithmically
181 sub_fig = sub_fig + 2;
182 set_diag_layout(fig, r, c/2, sub_fig/2);
183 c_semilogy(F_ES, S_X); %Theoretical P_X
184 set_diag_labels(['A.4 - 4-PAM Periodogram (Logarithmic) with K = ' num2str(K)], "F (Hz)", "P_X");
185 hold on;
186 c_semilogy(F_ES, Average_PX); %Estimated P_X
187 hold off;
188 legend('Theoretical P_X', 'Estimated P_X')
189 grid on;

```



## Ανάλυση Κυρίου Κώδικα

Η διαδικασία του κυρίου κώδικα δεν έχει αλλάξει καθόλου πέρα από το γεγονός ότι ο αριθμός των bit έχει αυξηθεί στα 100.



## Τμήμα Κώδικα Συνάρτησης

```

1  function [pam_bits] = bits_to_4PAM(b)
2  %%%%%%%%%%%%%%%%%%%%%%%%%%%%%%%%%%%%%%%%%%%%%%%%%%%%%%%%%%%%%%%%%%%%%%%%%
3  % pam_bits = bits_to_4PAM(b)                                     %
4  % OUTPUT                                                         %
5  %     pam_bits: a vector of 4-PAM symbols X                       %
6  % INPUT                                                         %
7  %     b: sequence (vector) of binary bits                       %
8  %                                                                 %
9  %     M. Galanis, Nov. 2018                                     %
10 %%%%%%%%%%%%%%%%%%%%%%%%%%%%%%%%%%%%%%%%%%%%%%%%%%%%%%%%%%%%%%%%%%%%%%%%%
11
12 pam_bits = zeros(1,length(b)/2);
13
14 %Equivalent bits are converted like so:
15 %00 -----> +3
16 %01 -----> +1
17 %11 -----> -1
18 %10 -----> -3
19 for i = 1:2:length(b)
20     if (b(i) == 0 && b(i+1) == 0);    pam_bits((i+1)/2) = +3;
21     elseif (b(i) == 0 && b(i+1) == 1); pam_bits((i+1)/2) = +1;
22     elseif (b(i) == 1 && b(i+1) == 1); pam_bits((i+1)/2) = -1;
23     elseif (b(i) == 1 && b(i+1) == 0); pam_bits((i+1)/2) = -3;
24     end
25 end
26 return

```

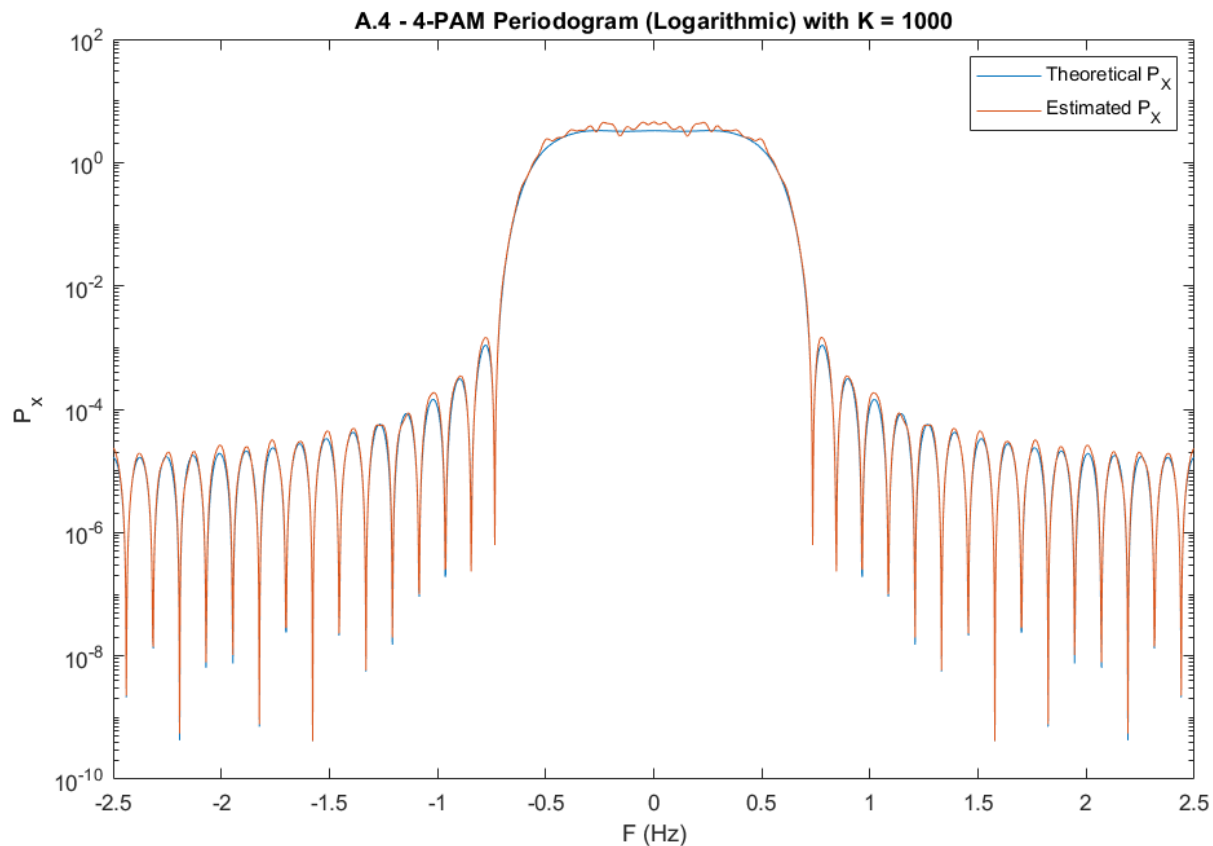


## Ανάλυση Κώδικα Συνάρτησης

Η ανανεωμένη συνάρτηση της μετατροπής από ακολουθία δυαδικών bit σε 4-PAM σύμβολα είναι παρόμοια με αυτή της 2-PAM απλώς εδώ ελέγχουμε ανά 2 bit και παράγουμε το αντίστοιχο σύμβολο PAM με αποτέλεσμα η ακολουθία εξόδου να έχει το μισό μήκος από την ακολουθία εισόδου.



## Διαγράμματα



## Επεξήγηση Διαγραμμάτων

Η κυματομορφή της 4-PAM έχει μεγαλύτερο πλάτος από την αντίστοιχη 2-PAM ενώ το εύρος φάσματος στην κυματομορφή αυτή παραμένει ίδιο. Αυτό οφείλεται στο γεγονός ότι το εύρος φάσματος εξαρτάται μονάχα από την περίοδο.



## (A.5) ΦΑΣΜ. ΠΥΚΝΟΤΗΤΑ 2-PAM ( $T' = 2T$ )

Για το ερώτημα αυτό, επιστρέφουμε και πάλι στην διαμόρφωση 2-PAM αλλά αυτή τη φορά διπλασιάζουμε τη συχνότητα του σήματος. Παράλληλα θα πρέπει να αυξήσουμε και την παράμετρο over. Επαναλαμβάνουμε τα βήματα του ερωτήματος A.3.

## Τμήμα Κώδικα

```

192 %%%%%%%%%%%%%%%%%%%%%%%%%%%%%%%%%%%%%%%%%%%%%%%%%%%%%%%%%%%%%%%%%%%%%%%%%
193 % A.5 - Comparing Theoretical & Estimated Energy Spectrums %
194 %       of 2-PAM Symbols ( $T' = 2T$ ) %
195 %%%%%%%%%%%%%%%%%%%%%%%%%%%%%%%%%%%%%%%%%%%%%%%%%%%%%%%%%%%%%%%%%%%%%%%%%
196 %Changing parameters
197 T = 2*T;
198 over = 2*over;
199 N = 50; %Number of bits
200
201 [phi,t] = srrc_pulse(T, Ts, A, a); %Creating new pulse with updated parameters
202
203 %Generating 2PAM Sequence
204 b = gen_N_bits(N); %Creating N bits
205 X_seq = bits_to_2PAM(b); %Using bits_to_2PAM to generate 2-PAM symbols
206
207 t_Delta = 0 : Ts : ((N + N*(over - 1)) - 1)*Ts; %Defining time for X_Delta
208 X_delta = Fs * upsample(X_seq,over); %Inserts zeros in between bits
209
210 %Convoluting X(t) = X_delta with phi
211 X_conv_time = t_conv(t_Delta,t,Ts); %Setting up convolution length
212 X = conv(X_delta,phi)*Ts; %Calculating actual convolution
213
214 %Calculating Periodogram
215 PX = P_X(X_conv_time, X,Nf,Ts);
216
217 %Customizing & Plotting X(t) Linearly
218 sub_fig = sub_fig + 1;
219 set_diag_layout(fig, r, c, sub_fig);
220 c_plot(F_ES, PX);
221 set_diag_labels('A.5 - 2-PAM Periodogram (Linear) with  $T' = 2T$ ', 'F (Hz)', 'Conv');
222 grid on;
223
224 %Customizing & Plotting X(t) Logarithmically
225 sub_fig = sub_fig + 1;
226 set_diag_layout(fig, r, c, sub_fig);
227 c_semilogy(F_ES, PX);
228 set_diag_labels('A.5 - 2-PAM Periodogram (Logarithmic) with  $T' = 2T$ ', 'F (Hz)', 'Conv');
229 grid on;
230
231 K = [100,1000];
232 %For every element of K (repeats)
233 for i=1:length(K)
234     Sum_PX = 0;
235
236     %For every repeat
237     for j=1:K(i)
238         b = gen_N_bits(N); %Creating N bits
239         X_seq = bits_to_2PAM(b); %Using bits_to_2PAM to generate 2-PAM symbols
240
241         t_Delta = 0 : Ts : ((N + N*(over - 1)) - 1)*Ts; %Defining time for X_Delta
242         X_delta = Fs * upsample(X_seq,over); %Inserts zeros in between bits
243
244         %Convoluting X(t) = X_delta with phi
245         X_conv_time = t_conv(t_Delta,t,Ts); %Setting up convolution length
246         X = conv(X_delta,phi)*Ts; %Calculating actual convolution
247
248         Sum_PX = Sum_PX + P_X(X_conv_time, X,Nf,Ts); %Summing up in every repeat to create average
249     end

```



```

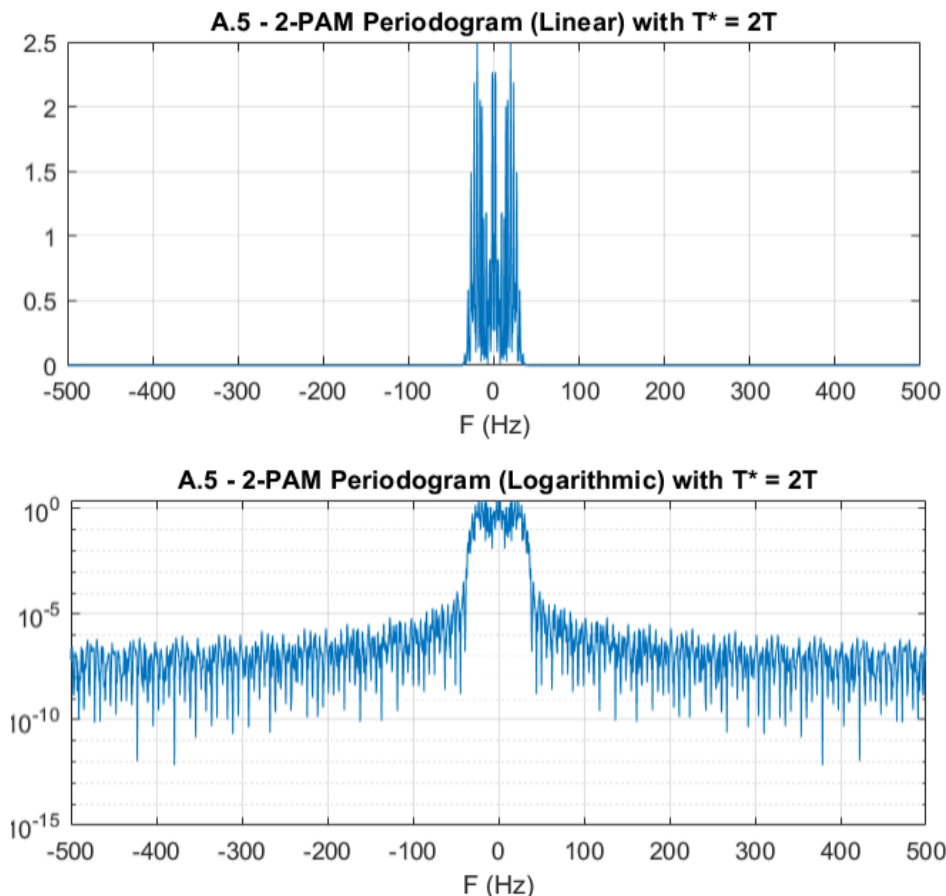
251 - Average_PX = Sum_PX./K(i); %Estimated Energy Spectrum
252 - S_X = (var(X_seg)^2 / T) .* ((F_T(phi,Nf,Ts)).^2); %Theoretical Energy Spectrum
253
254 %Customizing & Plotting Theoretical & Estimated P_X Logarithmically
255 sub_fig = sub_fig + 1;
256 set_diag_layout(fig, r, c, sub_fig);
257 c_semilogy(F_ES, S_X); %Theoretical P_X
258 set_diag_labels(['A.5 - P_x(F) 2-PAM Periodogram (Logarithmic) with K = ' num2str(K(i)) 'and T*
259 hold on;
260 c_semilogy(F_ES, Average_PX); %Estimated P_X
261 hold off;
262 legend('Theoretical P_X','Estimated P_X')
263 grid on;
264 - end

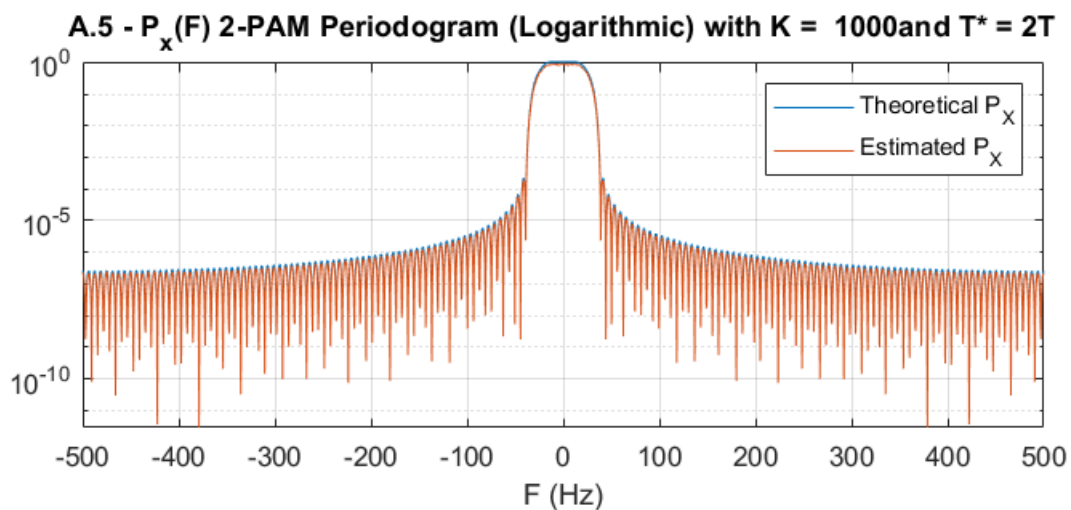
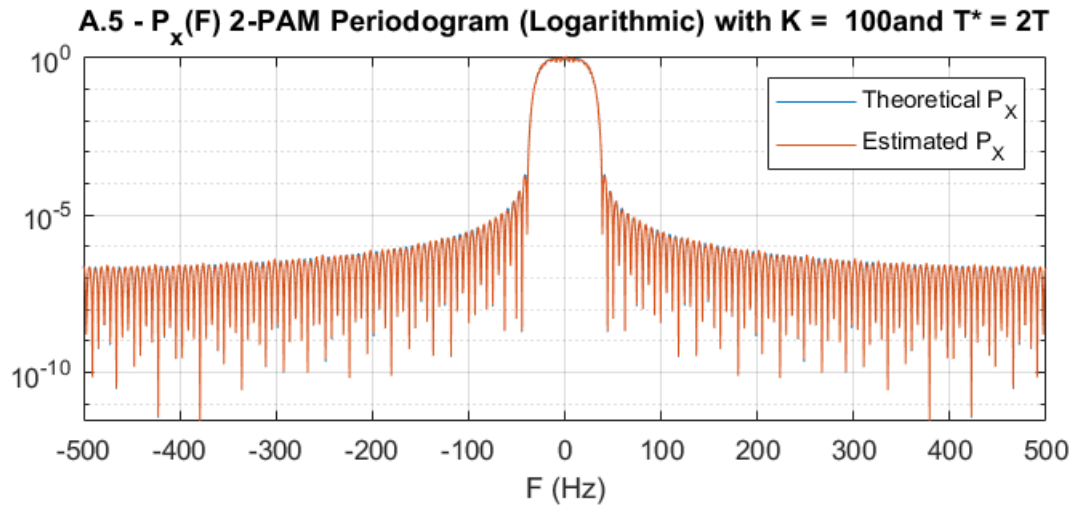
```

## Ανάλυση Κώδικα

Για άλλη μια φορά, επαναλαμβάνουμε το ερώτημα A.3. Το μόνο καινούργιο κομμάτι είναι ότι με τις καινούργιες παραμέτρους, ξανακαλούμε την `srrc_pulse` για να ανανεώσουμε τον αποκομμένο παλμό.

## Διαγράμματα





### Επεξήγηση Διαγραμμάτων

Παρατηρούμε ότι με διπλασιασμένη την περίοδο του σήματος, το εύρος φάσματος μειώθηκε στο μισό. Το παραπάνω θεωρείται απόλυτα φυσιολογικό και επιβεβαιώνεται από τη γνωστή σχέση της θεωρίας:

$$W = \frac{1 + \alpha}{2T}$$

## (A.6) ΘΕΩΡΗΤΙΚΕΣ ΕΡΩΤΗΣΕΙΣ

Εάν ο σκοπός μας είναι να στείλουμε δεδομένα με τον πιο γρήγορο τρόπο όταν διαθέτουμε το ίδιο εύρο φάσματος, η διαμόρφωση 4-PAM είναι η επιθυμητή μας λύση καθώς όπως είδαμε προηγουμένως η 4-PAM καταλαμβάνει τον μισό χώρο (τα μισά bits) από σύμβολα σε σχέση με την αντίστοιχη 2-PAM.

Αν για κάποιο λόγο απ'την άλλη το εύρος φάσματος είναι πολύ ακριβό, προτείνεται ο διπλασιασμός της περιόδου συμβόλου σε 2T αφού το εύρος φάσματος θα μειωθεί.

## (B.1) ΘΕΩΡΗΤΙΚΗ ΑΝΑΛΥΣΗ

Έστω η κυματομορφή:

$$X(t) = \sum_{n=-\infty}^{\infty} X_n \varphi(t - nT)$$

Τότε, ισχύει ότι:

$$E[y(t)] = E[X(t) * \cos(2\pi F_0 t + \theta)] \Leftrightarrow$$

$$E[y(t)] = E[X(t)] * E[\cos(2\pi F_0 t + \theta)]$$

Επειδή  $E[X(t)] = 0$  (ή αλλιώς λόγω ανεξαρτησίας  $X$  και  $\theta$ ).

Επίσης από τη συνάρτηση αυτοσυσχέτισης έχουμε:

$$R_{YY}(t + \tau, t) = E[y(t + \tau)y(t)] \Leftrightarrow$$

$$\begin{aligned} E[y(t + \tau)y(t)] &= E[X(t + \tau)\cos(2\pi F_0(t + \tau) + \theta)X(t)\cos(2\pi F_0 t + \theta)] = \\ &= E[X(t + \tau)X(t)]E[\cos(2\pi F_0(t + \tau) + \theta)\cos(2\pi F_0 t + \theta)] = \\ &= R_{XX}(t + \tau, t)E\left[\frac{1}{2}\cos(2\pi F_0 \tau) + \cos(2\pi F_0(t + \tau) + 2\theta)\right] \end{aligned}$$

Απο προηγούμενη σχέση έχουμε ότι  $E[y(t)] = 0$ . Οπότε ισχύει και  $E[y(t + \tau)] = 0$ .

Επιπλέον:

$$\begin{aligned} R_{XX}(t + \tau + T, t + T) &= \frac{1}{2} \cos(2\pi F_0 t) \sum_n \sigma_x^2 \varphi(t + \tau + T - nT) \varphi(t + T - nT) \\ &= \frac{1}{2} \cos(2\pi F_0 t) \sum_n \sigma_x^2 \varphi(t + \tau - n'T) \varphi(t - n'T) \\ &= R_{YY}(t + \tau, t) \end{aligned}$$

Με  $n' = n - 1$ .

Άρα η  $y(t)$  είναι κυκλοστάσιμη υπό την ευρεία έννοια.

Ύστερα για να υπολογίσουμε τη φασματική πυκνότητα ισχύος:

$$S_Y(F) = F \{\overline{R_Y}(\tau)\}$$

Άρα:

$$\begin{aligned} \overline{R_Y}(\tau) &= \frac{1}{T} \int_T R_{YY}(t + \tau, t) dt \\ &= \frac{1}{T} \int_T R_{XX}(t + \tau, t) \frac{1}{2} \cos(2\pi F_0 \tau) dt \\ &= \frac{1}{2} \cos(2\pi F_0 \tau) \overline{R_X}(\tau) \end{aligned}$$

Τελικά:

$$\begin{aligned} S_Y(F) &= \frac{1}{2} F \cos(2\pi F_0 \tau) \overline{R_X}(\tau) \\ &= \frac{1}{4} (S_X(F + F_0) + S_X(F - F_0)) \end{aligned}$$